

# Introducción a la estimación espectral

## Episodio I: técnicas no paramétricas

Andrés Altieri

Procesamiento de Señales II  
Facultad de Ingeniería, Universidad de Buenos Aires

Segundo cuatrimestre de 2015

- 1 Repaso: caracterización espectral de señales
- 2 Técnicas no paramétricas

## 1 Repaso: caracterización espectral de señales

# Señales determinísticas: densidad espectral de energía (I)

- Sea  $y[n]$ ,  $n \in \mathbb{Z}$  una señal determinística discreta.
- Asumimos que  $y$  es de energía finita, es decir:

$$\sum_{n \in \mathbb{Z}} |y[n]|^2 < \infty.$$

- Esto implica que la señal puede representarse por medio de su transformada de Fourier en tiempo discreto (DTFT):

$$Y(\omega) = \sum_{n=-\infty}^{\infty} y[n] e^{j\omega n} \quad \text{DTFT}$$

$$y[n] = \frac{1}{2\pi} \int_{-\pi}^{\pi} Y(\omega) e^{j\omega n} d\omega \quad \text{DTFT inversa}$$

- Definimos entonces la *densidad espectral de energía* como:

$$S(\omega) \triangleq |Y(\omega)|^2$$

# Señales determinísticas: densidad espectral de energía (II)

- Por el teorema de Parseval tenemos:

$$\sum_{n \in \mathbb{Z}} |y[n]|^2 = \frac{1}{2\pi} \int_{-\infty}^{\infty} S(\omega) d\omega,$$

por lo que de ahí el nombre de densidad espectral de energía.

- Definimos ahora una secuencia de autocorrelación para la señal discreta:

$$\rho[k] \triangleq \sum_{n \in \mathbb{Z}} y[n] y^*[n - k].$$

- Se observa que:

$$\begin{aligned} \text{DTFT}(\rho[k]) &= \sum_{k \in \mathbb{Z}} \rho[k] e^{-j\omega k} = \sum_k \sum_n y[n] y^*[n - k] e^{-j\omega n} e^{-j\omega(n-k)} \\ &= \left[ \sum_n y[n] e^{-j\omega n} \right] \left[ \sum_m y^*[m] e^{-j\omega m} \right] \quad (n - k = m) \\ &= S(\omega) \end{aligned}$$

# Señales aleatorias: densidad espectral de potencia (I)

- Las señales aleatorias, como secuencias temporales, en general no tiene energía finita.
- En general tienen *potencia promedio* finita.
- Sea  $y[n]$ ,  $n \in \mathbb{Z}$  una señal determinística discreta.
- Asumimos que  $y$  es ESA de media nula:

$$\mathbb{E}[y[n]] = 0 \forall n$$

La secuencia de *autocovarianza* el proceso es entonces:

$$r[k] \triangleq \mathbb{E}[(y[n] - \mathbb{E}[y[n]])(y[n-k] - \mathbb{E}[y[n-k]])^*] = \mathbb{E}[y[n]y[n-k]^*]$$

- Propiedades de la autocovarianza:
  - ▶ Secuencia hermítica:  $r[k] = r[-k]^*$ .
  - ▶  $r[0] \geq |r[k]| \quad \forall k$

## Señales aleatorias: densidad espectral de potencia (II)

Podemos generalizar la definición de la PSD del caso discreto con dos definiciones

### Densidad espectral de potencia (PSD): primera definición

Se la define como la transformada de Fourier de la autocorrelación:

$$\phi(\omega) \triangleq \sum_k r[k] e^{-j\omega k}$$

Igual que antes por Parseval tenemos:

$$\sigma_y^2 = r[0] = \frac{1}{2\pi} \int_{-\pi}^{\pi} \phi(\omega) d\omega.$$

### Densidad espectral de potencia: primera definición

Se define a partir de un límite temporal:

$$\phi(\omega) \triangleq \lim_{N \rightarrow \infty} \mathbb{E} \left[ \frac{1}{N} \left| \sum_{n=1}^N y[n] e^{j\omega n} \right|^2 \right]$$

# Relación entre las definiciones

- Son extensiones de las definiciones para señales determinísticas.
- En el caso determinístico coinciden. En este caso, coinciden si:

$$\lim_{N \rightarrow \infty} \sum_{k=-N}^N |k| |r[k]| = 0.$$

No es un requisito muy restrictivo.

- La primera definición es la más usual.



# Propiedades de la densidad espectral de potencia

- Es real, como es de esperarse, y  $\phi(\omega) \geq 0$
- Usando la Definición 1 y que  $r[k] = r[-k]^*$ , escribimos:

$$\phi(\omega) = r[0] + 2 \sum_{k=1}^{\infty} \Re\{r[k]e^{j\omega k}\},$$

y para señales reales,  $r[k]$  resulta real y par y entonces:

$$\phi(\omega) = r[0] + 2 \sum_{k=1}^{\infty} r[k] \cos(\omega k),$$

también es par.

# PSD a la salida de un sistema LTI (I)

- Sea un sistema LTI con respuesta impulsiva  $h[n]$  y entrada  $x[n]$  de PSD  $\phi_x$ .
- La salida del sistema se escribe como:

$$y[n] = \sum_m h[m]x[n-m]$$

- La correlación de la salida es:

$$\begin{aligned} r_y[k] &= \mathbb{E} [y[n]y[n-k]^*] \\ &= \mathbb{E} \left[ \sum_m h[m]x[n-m] \sum_p h[p]^*x[(n-k)-p] \right] \\ &= \sum_m \sum_p h[m]h[p]^* \mathbb{E} [x[n-m]x[n-k-p]] \end{aligned}$$

$$r_y[k] = \sum_m \sum_p h[m]h[p]^* r_x[k+p-m]$$

## PSD a la salida de un sistema LTI (II)

- La PSD de la salida es entonces:

$$\begin{aligned}\phi_y(\omega) &= \sum_k y_r[k] e^{j\omega k} \\&= \sum_k \sum_m \sum_p h[m] h[p]^* r_x[k+p-m] e^{j\omega k} \\&= \sum_q \sum_m \sum_p h[m] h[p]^* r_x[q] e^{j\omega(q-p+m)} \quad \leftarrow k = q - p + m \\&= \left( \sum_m h[m] e^{j\omega m} \right) \left( \sum_p h[p]^* e^{-j\omega p} \right) \left( \sum_q r_x[q] e^{j\omega q} \right)\end{aligned}$$

### Relación entre la PSD a la entrada y a la salida

$$\phi_y(\omega) = |H(\omega)|^2 \phi_x(\omega) \quad \forall \omega$$

# El problema de estimación espectral

## Enunciado del problema

A partir de un conjunto de  $N$  muestras de un proceso ESA y:

$$\{y[1], \dots, y[N]\}$$

el objetivo es hallar un estimador  $\hat{\phi}_y$  de la densidad espectral de potencia  $\phi_y$ .

- En general el número de muestras  $N$  puede ser pequeño, lo que introduce una limitación al buscar un estimador “bueno”.
- Las señales a veces son no estacionarias, y la hipótesis de estacionariedad puede ser válida solo en una ventana de tiempo corta.

# Clasificación de técnicas

Las técnicas se definen básicamente en dos clases:

- Técnicas no paramétricas:

- ▶ No asumen ningún modelo para la señal de entrada.
- ▶ Se basan en la propia definición de la PSD.
- ▶ El paradigma de estas técnicas es el periodograma.

- Técnicas paramétricas:

- ▶ Se introducen hipótesis que permiten obtener un modelo de la PSD a estimar.
- ▶ El modelo depende de ciertos parámetros que son estimados a partir de la muestras.
- ▶ Son empleados cuando la información disponible permite construir un modelo adecuado para la señal.

## 2 Técnicas no paramétricas

# Introducción: generalidades

- Corresponden a técnicas “clásicas” de estimación.
- Parten de las dos definiciones básicas de la PSD:

$$\phi(\omega) \triangleq \sum_k r[k]e^{-j\omega k} \qquad \phi(\omega) \triangleq \lim_{N \rightarrow \infty} \mathbb{E} \left[ \frac{1}{N} \left| \sum_{n=1}^N y[n]e^{j\omega n} \right|^2 \right]$$

- En general, no son estimadores “buenos” pues su varianza no tiende a cero cuando el número de muestras crece.

# Periodograma

La segunda definición de la PSD conduce al llamado *periodograma*:

## Definición

El periodograma se basa en hacer la DTFT de las muestras de la señal, tomar módulo y normalizar:

$$\hat{\phi}_p(\omega) \triangleq \frac{1}{N} \left| \sum_{n=1}^N y[n] e^{j\omega n} \right|^2$$

- Arthur Schuster le puso ese nombre en 1898 al usarlo para detectar periodicidades ocultas en señales.
- En la práctica se utiliza la DFT para muestrear el periodograma (FFT).



La primera definición de la PSD conduce al llamado *correlograma* [Blackman y Tukey, 1959]:

## Correlograma

Consiste en hacer la DTFT de un estimador de la autocovarianza de la señal:

$$\hat{\phi}_c(\omega) \triangleq \sum_{n=-(N-1)}^{N-1} \hat{r}[k] e^{j\omega k}$$

$\{r[k]\}_k$  es algún estimador de la covarianza

A continuación estudiamos algunos de los estimadores clásicos de la covarianza.

# Estimadores usuales de la covarianza(I)

## Estimador insesgado de la covarianza

$$\hat{r}[k] = \frac{1}{N-k} \sum_{n=k+1}^N y[n]y^*[n-k], \quad 0 \leq k \leq N-1$$

Podemos definir:

$$\mathbf{y}_i = [\underbrace{0, \dots, 0}_i, y_1, \dots, y_{N-i}]^T \in \mathbb{C}^N, 0 \leq i \leq N-1$$

- $k = 0 \longrightarrow N$  sumas, y dividimos por  $N$ :

$$\hat{r}[0] = \frac{1}{N} \sum_{n=1}^N |y[n]|^2 = \frac{1}{N} \|\mathbf{y}_0\|^2$$

- $k = 1 \longrightarrow N-1$  sumas, y dividimos por  $N-1$ :

$$\hat{r}[1] = \frac{1}{N-1} (y[1]y[0]^* + y[2]y[1]^* \dots + y[N]y^*[N-1]) = \frac{1}{N-1} \mathbf{y}_1^H \mathbf{y}_0$$

## Estimadores usuales de la covarianza (II)

- $k = N - 1 \longrightarrow 1$  suma, y dividimos por 1:

$$\hat{r}[N] = y[N]y[1]^* = \mathbf{y}_{N-1}^H \mathbf{y}_0$$

**¡Una sola suma!**

### Observaciones

- Normalmente la correlación decrece con  $k$  en forma bastante rápida, es decir,

$$|r[k]| \xrightarrow{|k| \rightarrow \infty} 0 \text{ en forma rápida.}$$

- La cantidad de sumas y el divisor decrecen con  $k$  para este estimador.
- La secuencia obtenida no da una matriz de covarianza semidefinida positiva.

**Conclusión:** para  $k$  grande se estiman valores pequeños con pocas sumas, lo que conduce en general a valores más erráticos y a una matriz potencialmente no semidefinida positiva.

# Estimadores usuales de la covarianza (III)

## Estimador sesgado de la covarianza

$$\hat{r}[k] = \frac{1}{N} \sum_{n=k+1}^N y[n]y[n-k]^*, \quad 0 \leq k \leq N-1$$

- $k = N-1 \longrightarrow 1$  suma, y dividimos por  $N$ :

$$\hat{r}[N] = \frac{1}{N} y[N]y[1]^* = \frac{1}{N} \mathbf{y}_{N-1}^H \mathbf{y}_0$$

**¡Una sola suma! Pero divida por  $N$ .**

## Observaciones

- Al ponderar todo por  $N$  se reducen las oscilaciones en valores grandes de  $k$ .
- La secuencia obtenida da una matriz de correlación semidefinida positiva.

**Conclusión:** este estimador es preferible en general.

# Relación entre periodograma y correlograma

## Teorema

Si usamos el estimador **sesgado** de la covarianza:

$$\hat{r}[k] = \frac{1}{N} \sum_{n=k+1}^N y[n]y[n-k]^*, \quad 0 \leq k \leq N-1$$

el periodograma y el correlograma **coinciden**.

- Utilizaremos siempre el periodograma o correlograma calculado con el estimador sesgado.
- Se utilizará la FFT para aproximar el periodograma, lo que requiere que un largo que sea potencia de 2.
- Podemos agregar ceros para extender la señal, pero esto **no mejora la resolución** pues la FFT sólo muestrea el periodograma continuo.

# Propiedades estadísticas del periodograma

- Dado un parámetro  $a$  y un estimador  $\hat{X}$  para  $a$  podemos usar el error cuadrático medio ECM para calificarlo:

$$\begin{aligned}\text{ECM}(\hat{X}) &= \mathbb{E} \left[ |a - \hat{X}|^2 \right] \\ &= \underbrace{\mathbb{E} \left[ |\hat{X} - E[\hat{X}]|^2 \right]}_{\text{Varianza}} + \underbrace{|a - \mathbb{E}[\hat{X}]|^2}_{\text{Sesgo}}\end{aligned}$$

Pondera el sesgo y varianza en una sola métrica.

## Observaciones

- El periodograma es asintóticamente insesgado.
- Sin embargo, la varianza no decrece con  $N$ , por lo que no son buenos estimadores en sentido estadístico. Es inconsistente, pues la varianza no va a cero con  $N$  (claramente tampoco el MSE).

# Análisis del sesgo del periodograma (I)

- Buscamos la esperanza del estimador sesgado:

- ▶ Con  $0 \leq k \leq N - 1$ :

$$\mathbb{E} [\hat{r}[k]] = \mathbb{E} \left[ \frac{1}{N} \sum_{n=k+1}^N y[n]y[n-k]^* \right] = \frac{N-k}{N} r[k].$$

Si  $k < 0$  usamos que  $r[k] = r[-k]^*$ .

## Esperanza del estimador sesgado

$$\mathbb{E} [\hat{r}[k]] = \frac{N - |k|}{N} r[k] = w_B[k] r[k].$$

donde  $w_B[k] = \frac{N-|k|}{N} \mathbb{1}\{|k| \leq N - 1\}$  es la ventana triangular o de Bartlett.

La esperanza del estimador insesgado es la verdadera autocorrelación, ventaneada con la ventana triangular .

# Análisis del sesgo del periodograma (II)

Tenemos lo siguiente:

$$\mathbb{E} [\phi_p(\omega)] = \sum_{k=-(N-1)}^{N-1} \mathbb{E} [\hat{r}[k]] e^{j\omega k} = \sum_{k=-(N-1)}^{N-1} w_B[k] r[k] e^{j\omega k}$$

## Conclusión

- La esperanza del periodograma es la convolución periódica entre la PSD real y la ventana triangular.
- Cuando  $N$  crece, la ventana se angosta en frecuencia y el sesgo tiende a cero.

Para el estimador insesgado de la autocovarianza, se obtiene lo mismo pero la ventana es rectangular.



# Análisis del sesgo del periodograma (III)

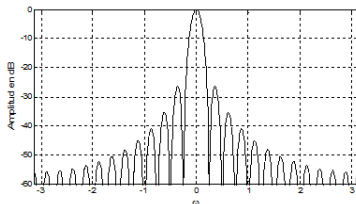


Figura: Ventana de Bartlett normalizada  $N = 25$ .

- Efecto del lóbulo principal: produce un suavizado o *smearing* (borroneado) del espectro.
- Efecto de los lóbulos secundarios: produce un escurrimiento/goteo/filtrado o *leakage* de potencia hacia bandas de frecuencia donde puede no haberlas.

# Resolución del periodograma

- El ancho del lobulo de Bartlett es aprox.  $1/N$ , de modo que se dice que  $1/N$  es el límite de resolución del periodograma.
- Esto significa que (aprox) dos frecuencias  $f_1, f_2$  (en muestras/Hz) tal que

$$|f_2 - f_1| \lesssim 1/N$$

no pueden distinguirse.

- Esto es importante si el espectro tiene muchos picos, pero no es tan importante en espectros suaves.

# Análisis de la varianza del periodograma (I)

- Se estudia la varianza asintótica del periodograma.
- Primero se considera un proceso de ruido blanco Gaussiano complejo  $x$ , circularmente simétrico y varianza  $\sigma^2$ :
  - ▶ Las componentes real e imaginaria del ruido están descorrelacionadas y tienen varianza  $\sigma^2/2$ .
  - ▶ La PSD es constante y de valor  $\sigma^2$ .
- Puede demostrarse que en ese caso (ruido blanco), la covarianza del periodograma es:

$$\lim_{N \rightarrow \infty} \mathbb{E} \left[ (\hat{\phi}_p(\omega_1) - \mathbb{E}[\hat{\phi}_p(\omega_1)])(\hat{\phi}_p(\omega_2) - \mathbb{E}[\hat{\phi}_p(\omega_2)])^* \right] = \sigma^2 \delta_{\omega_1, \omega_2}$$

es decir, asintóticamente, las componentes del periodograma están descorrelacionadas.

- En particular, esto se demuestra hallando la covarianza para todo  $N$  y tomando luego el límite.

# Análisis de la varianza del periodograma (II)

- Luego se considera que el ruido blanco es pasado por un sistema LTI:

$$y[n] = \sum_{k=1}^{\infty} h[n-k]x[k],$$

$$\phi_y(\omega) = |H(\omega)|^2 \phi_x(\omega)$$

Este es un modelo muy general porque puede elegirse cualquier respuesta  $h$ .

- Entonces cuando  $N$  es grande puede probarse que el periodograma cumple:

$$\hat{\phi}_y(\omega) = |H(\omega)|^2 \hat{\phi}_x(\omega) + O(1/\sqrt{N}),$$

Es decir, cumple una ecuación similar a las PSDs reales.

- Aclaración: se dice que  $f(x) = O(g(x))$  cuando  $x \rightarrow \infty$  si existen  $x_0$  y  $M$  constantes tales que:

$$f(x) \leq M g(x) \quad \forall x > x_0.$$

# Análisis de la varianza del periodograma (III)

## Conclusión

- Las componentes de  $\hat{\phi}_y(\omega)$  también están asintóticamente descorrelacionadas y su varianza asintótica no es nula.

¡¡Tomar más muestras no reduce la varianza del estimador !!

- Es un estimador **inconsistente**, porque la varianza no va a 0 con  $N$ .
  - Como asintóticamente las componentes están descorrelacionadas, su comportamiento es algo errático.
- 
- Existen varias técnicas “mejoradas” que toman como base el periodograma.
  - En general hay un intercambio/balance entre resolución y varianza.

# Técnica de Blackman-Tukey (I)

- La variabilidad del periodograma surge de la poca precisión para estimar la correlación para  $k$  grande.
- También de la sumatoria de numerosos errores de estimación de la covarianza.
- Blackman-Tukey propone ventanear y truncar la señal para mitigar esto:

$$\hat{\phi}_{BT}(\omega) = \sum_{k=-(M-1)}^{M-1} w[k]r[k]e^{-j\omega k},$$

con  $w$  una función par, decreciente, y con  $w[0] = 1$ .

En frecuencia ventanear equivale a una convolución periódica:

$$\phi = W \circledast \phi_p.$$

- Esto implica que BT es un promedio local del periodograma, que reduce su resolución.
- Al mismo tiempo, truncar a  $M$  muestras elimina las muestras que tienen pocas sumas y reduce la varianza así como las oscilaciones.

# Técnica de Blackman-Tukey (II)

- Esto permite intercambiar resolución/varianza según se desee.
- En forma aproximada, la resolución se reduce a  $1/M$  y la varianza en  $M/N$
- Si la ventana es no negativa, el estimador obtenido también lo será.
- La mayoría de las ventanas son no negativas en tiempo y frecuencia (o toman valores positivos mucho mayores).
- Además, poseen picos en el origen en ambos dominios.
- Para este tipo de ventanas puede establecerse un equivalente entre ancho de banda en el tiempo y frecuencia.

# Equivalencia de ancho de banda tiempo-frecuencia

- Definimos el ancho temporal equivalente de la ventana como:

$$N_e = \frac{\sum_{k=-(M-1)}^{M-1} w[k]}{w[0]},$$

y el ancho de banda equivalente como:

$$\beta_e = \frac{\frac{1}{2\pi} \int_{-\pi}^{\pi} W(\omega) d\omega}{W(0)}.$$

- Es fácil ver que:

$$N_e \beta_e = 1,$$

es decir, si una ventana dispersa su energía respecto del valor en 0 ( $N_e$  grande),  $\beta_e$  será pequeño (energía concentrada en  $W(0)$ ).

- Eligiendo  $M < N/10$  se reduce el desvío aproximadamente tres veces con respecto al periodograma. Luego puede elegirse la forma de la ventana para balancear *smearing* y *leakage*.



## Otras técnicas: Bartlett (I) [1948-50]

- Se divide la secuencia de  $N$  muestras en  $L = M/N$  secuencias de  $M$  muestras:

$$y_j[n] = y[(j-1)M + n], \quad n = 1, \dots, M, \quad j = 1, \dots, L.$$

- Se computa el periodograma de cada secuencia:

$$\hat{\phi}_j(\omega) = \frac{1}{M} \left| \sum_{n=1}^M y_j[n] e^{j\omega n} \right|^2.$$

- Se promedian los periodogramas obtenidos para obtener el estimador de Bartlett:

$$\hat{\phi}_B(\omega) = \frac{1}{L} \sum_{j=1}^L \hat{\phi}_j(\omega).$$

- Promediar el periodograma debería reducir la varianza.

## Otras técnicas: Bartlett (II)

- Puede describirse como:

$$\phi_B(\omega) = \sum_{k=-(M-1)}^{M-1} \left[ \frac{1}{L} \sum_{j=1}^L \hat{r}_j[k] \right] e^{j\omega k}.$$

donde se ve que es similar a un BT con ventana rectangular.

- Pero los estimadores  $r_j$  usan pocas muestras y por lo tanto la varianza se verá incrementada respecto de BT con ventana rectangular de largo  $M$ , pero reducida respecto del periodograma normal.
- El ancho relativo  $N_e$  es de los más pequeños entre todas las ventanas, por lo cual tendrá la mayor resolución de los BT (el menor *smearing*), pero el peor *leakage*.

## Otras técnicas: Welch [1967] (I)

- Refina la técnica de Bartlett, permitiendo que se superpongan las ventanas.
- Se divide la secuencia de  $N$  muestras en  $S$  secuencias de  $M$  muestras, superpuestas cada  $K$  muestras:

$$y_j[n] = y[(j-1)K + n], \quad n = 1, \dots, S, \quad j = 1, \dots, L.$$

- Típicamente se deja 50 % de superposición, es decir:

$$K = M/2,$$

y  $S \approx 2M/N$ .

- Se computa el periodograma de cada secuencia pero ventaneándola:

$$\hat{\phi}_j(\omega) = \frac{1}{MP} \left| \sum_{n=1}^M v[n] y_j[n] e^{j\omega n} \right|^2.$$

con:  $P = 1/M \sum_{k=1}^M |v[k]|^2$ .

- Se promedian los periodogramas obtenidos para obtener el estimador de Welch:

$$\hat{\phi}_W(\omega) = \frac{1}{S} \sum_{j=1}^S \hat{\phi}_j(\omega).$$

## Otras técnicas: Welch [1967] (II)

- Superponer muestras permite aprovechar mejor la información para obtener el periodograma. Se promedian más periodogramas que antes, reduciendo la varianza.
- Ventanear en el tiempo permite reducir el peso de las muestras de los extremos, que son compartidas por dos grupos de muestras, reduciendo la correlación entre los periodogramas.
- Puede describirse como en una forma similar a la del estimador de BT.
- Es un estimador de los más utilizados.

## Otras técnicas: Daniell [1946] (I)

- Consiste en hacer un promedio local del periodograma, para reducir su varianza, es decir:

$$\hat{\phi}_D(\omega_k) = \frac{1}{2J+1} \sum_{j=k-J}^{k+J} \hat{\phi}_p(\omega_j).$$

- Debe hacerse una FFT de largo  $\bar{N} \gg N$ , y tomar un  $J$  pequeño, para que la FFT sea bastante constante en la ventana.
- Esto implica que es equivalente a un estimador BT donde la ventana en frecuencia es rectangular (una sinc en el tiempo), es decir:

$$\hat{\phi}_D(\omega) = \sum_{k=-(N-1)}^{N-1} w[k] \hat{r}[k] e^{-j\omega k}$$

con  $w[k] = \text{sinc}(k\pi J/\bar{N})$ .

- Como la sinc no se anula, la sumatoria de la expresión del estimador de Blackman no se trunca en  $M$ .
- Sin embargo, el parámetro  $M = \bar{N}/J$  cumple el rol equivalente al  $M$ .

## Ejemplo: resolución del periodograma (I)

- Consideremos el siguiente modelo

$$y[n] = \sin[2\pi f_0 n] + \sin\left[2\pi\left(f_0 + \frac{\alpha}{N}\right)n\right], \quad n = 1, \dots, N$$

$\alpha$  es la diferencia de frecuencia entre las sinusoides.

- Consideramos  $N = 256$ , de modo que la resolución debería ser, aprox:

$$1/N = 0,0039,$$

es decir,  $\alpha = 1$ .

## Ejemplo: resolución del periodograma (II)

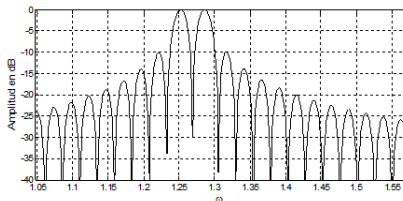


Figura: Espectro para  $\alpha = 1$ .  $\frac{\alpha}{N} = 0,039$ . FFT de 8192 puntos

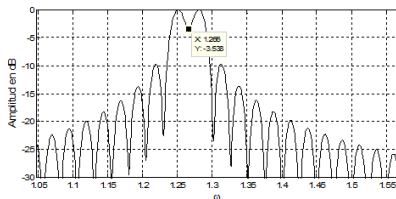


Figura: Espectro para  $\alpha = 0,75$ .  $\frac{\alpha}{N} = 0,029$ . FFT de 8192 puntos

## Ejemplo: resolución del periodograma (III)

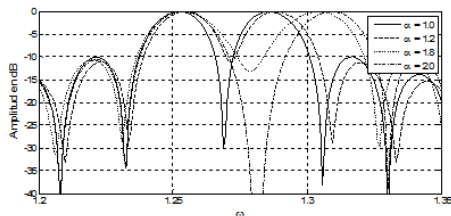


Figura: Espectro para  $\alpha > 1$ . . FFT de 8192 puntos

pero luego para  $2 > \alpha > 1$  la brecha entre los picos vuelve a angostarse y a aumentar porque se superponen los dos primeros lóbulos secundarios, que son los de mayor amplitud.

- Para  $\alpha = 1$ , límite teórico de resolución, ambos lóbulos están separados.
- Para  $2 > \alpha > 1$  la brecha entre los picos vuelve a angostarse y a aumentar, por los lóbulos secundarios.
- Para  $\alpha > 2$  los lóbulos se separan definitivamente



## Ejemplo: resolución del periodograma (IV)

- La resolución se ve afectada también por la fase relativa de las señales.
- Si las señales tienen diferente amplitud, una puede enmascarar a la otra.

# Conclusiones

- Las técnicas basadas en el periodograma son todas variaciones sobre un mismo tema.
- El objetivo es reducir la varianza a costa de reducir la resolución en frecuencia.
- Esto se logra suavizando el periodograma, truncando o promediando sub periodogramas.
- En muchos casos, el periodograma es suficiente para caracterizar el comportamiento de las señales. Esto es especialmente cierto si no hay información a priori sobre las características de la señal.